

防衛大学校 正員 木暮敬二  
正員 山口晴幸  
学生 小野 博

1. まえがき 現場の圧密況下解析は、標準圧密試験から求められる土質係数を用いて行なわれる場合が多い。本報告は、この試験に用いられる供試体厚さ(20mm)の約20倍までの粘性土供試体について、室内試験を実施することにより、粘性土の一次および二次圧縮挙動におよぼす供試体厚さ(有効排水長)ならびに荷重増加率の影響について実験的考察を加えたものである。

2. 試料と実験方法 実験に用いた粘土試料は、茨城県古河市地区で採取したものである。その物理的性質を表1に示す。用いた圧密試験装置は大型(図-1)、中型(図-2)及び小型(標準圧密試験機の改良型)の三種である。大型及び中型試験では、泥水状態の試料(含水比約180%)から圧密を開始した。また小型試験機では、100kPaの鉛直応力を与えて作製したケーク状試料(含水比約80%)から供試体を所定の寸法に切り出し、圧密を開始した。なお表-2には、実施した一連の試験条件が記述してある。

表-1

粘土分	シルト分	砂分	比量	LL	PL	PI
47%	36%	17%	2.65	101%	36%	65%

3. 実験結果と考察  
1) 圧密況下-時間曲線について 圧密況下-時間曲線と供試体厚さ(有効排水長)との関係について Ladd によつて図-3のように図式化されている。そこで、本結果をこの図と照合しながら検討してみよう。荷重増加率(%)を1に固定し、供試体厚さの相違によつて沈下(鉛直方向)の時間(t)曲線がどの様に推移するかを示したのが図-4、5である。図-4は予圧密供試体を用いた小型試験機におもて、初期厚さ(H<sub>i</sub>)が、20, 40, 60mmの場合である。図-5は、中型と大型試験機を用い、H<sub>i</sub>=30, 370mmについて、泥水から圧密を開始した場合の挙動を示す。両図からいへば曲線は、図-3に示すように必ずしも供試体厚さに伴う傾向を持って推移するとは限らないことがわかる。つまり図-4の挙動は、カーブA型の曲線を示しているのに対し、図-5では、カーブB型の曲線へと移行している。このことに対して考えられる理由の一つとして、急氷状状態に伴う土粒子構造の相違が挙げられると思ふ。つまり前図の挙動は、約50kPaの応力差( $k_0=0.5$ と仮定)のもとで、すでに配向構造を形成していると考えられる供試体を用いており、しかもこれは、十分に自立できる土粒子構造のものであるのに対し、後図は懸濁状態から圧密を開始しておりまだ骨格を形成するに至らない泥水時に近い挙動であるため土粒子再配列に伴う配向性が低く骨格構造形成の途上にあるという圧密過程での土粒子構造の相違に起因するのではないかと推察される。図-6は、一次圧密終了までの経過時間(t<sub>p</sub>)と供試体厚さ(H<sub>0</sub>)との関係を表わしている。なおt<sub>p</sub>は、Casagrande法により求めた標準圧密試験でのH<sub>0</sub>=H<sub>10</sub>=20mmとt<sub>p</sub>=t<sub>10</sub>とそれぞれを無次元化している。図から明らかなるように、標準圧密用供試体厚さ(20mm)の約20倍までは、少なくとも  $t_p \propto H_0^2$  の関係が成立すると言えるだろう。しかしこの関係は有効排水長の

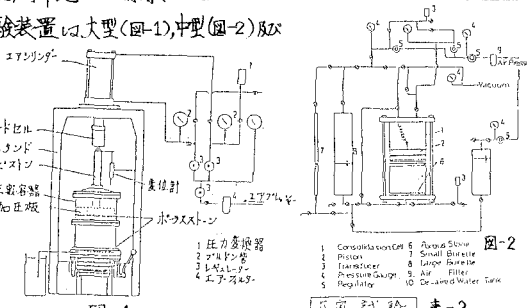


図-1

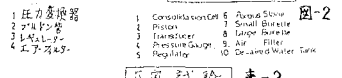


図-2

表-2 圧密試験

試験機	試料	初期厚さ(H <sub>i</sub> )	最終厚さ(H <sub>f</sub> )	圧密時間(t <sub>p</sub> )
小型圧密試験機	ケーク状試料	H <sub>i</sub> = 20, 40, 60 mm	H <sub>f</sub> = 10 mm	Δt = 10, 20, 40 min
中型圧密試験機	泥水状態試料	H <sub>i</sub> = 30 mm	H <sub>f</sub> = 15 mm	Δt = 10, 20, 40 min
大型圧密試験機	泥水状態試料	H <sub>i</sub> = 370 mm	H <sub>f</sub> = 15 mm	Δt = 10, 20, 40 min

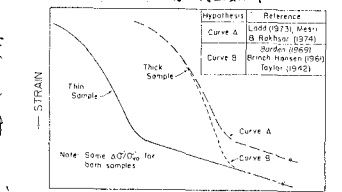


図-3

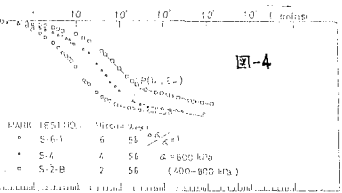


図-4

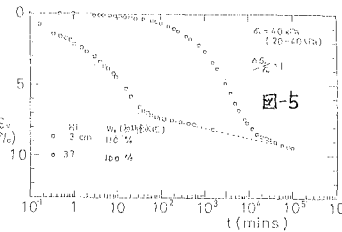


図-5

長い原地盤での粘土層まで拡張できるからといって反密解析を試みる際に非常に重要でかつ興味ある問題である。それ故にこのことについては原位置データを加え検討を進めるとともに、今後許される可能な範囲で十分な時間を費やした室内試験からある程度確かめておく必要がある。

ii) 二次圧縮指数について 前述の図-4,5から推測される様に、二次圧縮領域での挙動に着目すると、二次圧縮量は対数時間に比例するとみなせる一般の傾向が見受けられる。そこで、二次圧縮量を間隙比(e)の変化量として表わした二次圧縮指数  $C_d = \frac{\Delta e}{\log t}$  について、試験条件ならびに圧縮指数  $C_c = \frac{\Delta e}{\log \sigma_v}$  (e: 鉛直応力)との関係から検討を加えよめたのが図-7~12である。図-7~8は、圧密降伏応力( $\sigma_v$ )より高い

応力下での  $C_d$  値と  $\sigma_v$  との関係で示しており、前回は供試体初期厚さ ( $H_i = 20\text{mm}$ ) を固定し、荷重増加率 ( $\Delta\sigma_v/\sigma_v$ ) を  $1/4 \sim 16$  の9種類に、後回は  $\Delta\sigma_v/\sigma_v = 1$  とし  $H_i = 20, 40, 60\text{mm}$  の3種類に変化させた場合である。多少ばらつきはあるが、本試料の  $C_d$  は  $0.005 \sim 0.02$

付近の値をとっていることから、反密圧力の大小のみならず、荷重増加率及び供試体厚さの相違が  $C_d$  の値にほとんど現われてこないのみならず、結果は Newland et al. の報告と同様の傾向を示している。なお Mesri によつてこの  $C_d$  は、圧縮指数  $C_c = \frac{\Delta e}{\log \sigma_v}$  と比例関係にあるといわれている。そこで本文のように、 $C_d$  の値が試験条件にほとんど左右されないという結果が得られたので、当然  $C_c$  の値も荷重増加率や供試体厚さに依存しないことが推測される。このことを示したのが図-9,10で、 $C_d/C_c = 0.025$  の直線付近に実測値が集中している。また図-9のように  $C_c$  の値が荷重増加率に依存しないのみならず、このことから当然荷重増加率を種々に変化させた場合の  $C_d$  と  $C_c$  の対応値も図-11に示すように、 $C_d/C_c = 0.025$  の直線付近に位置することになる。さらに図-12に示すように、 $\sigma_v > \sigma_v'$  での  $C_d/C_c$  の値は、 $\sigma_v < \sigma_v'$  でのそれとほぼ等しい。このことは正規圧密粘性土の  $C_c$  の値から過圧密粘性土の二次圧縮指数  $C_d$  が推測できることを示すものである。

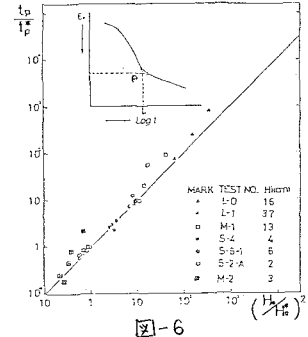


図-6

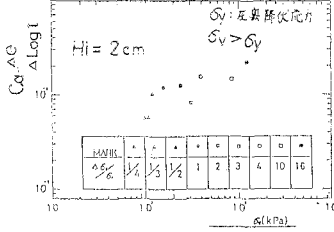


図-7

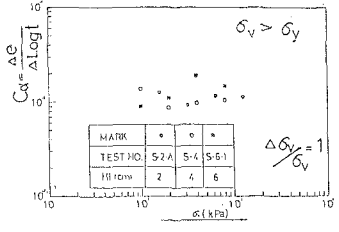


図-8

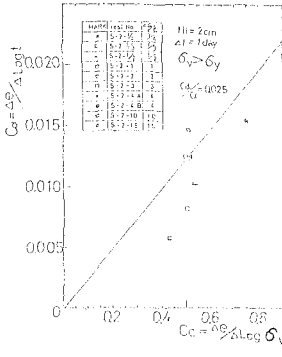


図-9

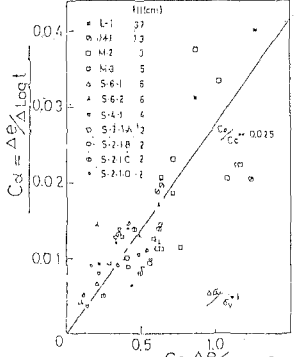


図-10

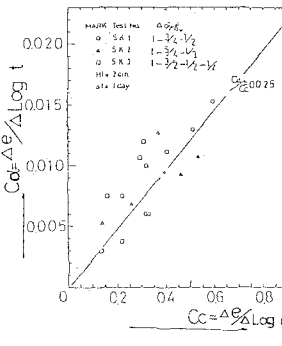


図-11

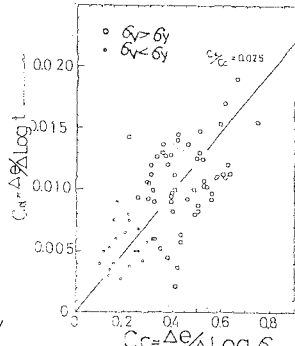


図-12

<参考文献>

- 1) C. C. Ladd; Stress-Deformation and Strength Characteristics, State-of-the-Art Reports, 9th ICSMFE (Tokyo) July, 1977, Vol. 2, pp. 448
- 2) Newland, P.L., and Alley, B.H., "A Study of the Consolidation Characteristics of a Clay," Geotechnique, Vol. 10, 1960, pp. 62-74
- 3) G. Mesri, and P.M. Gdlewski, "Time-And Stress-Compressibility Interrelationship," A.S.C.E., No. 5, 1977, pp. 417-430